



ارزیابی مدل فیزیکی مبنای Sparse Gash در برآورد باران ریابی جنگل‌های پهنه‌برگ هیرکانی

طوبی پناهندۀ^۱، پدرام عطارد^{۲*}، متوجه‌نیارانیان^۳، ویلما بایرام‌زاده^۳ و سید محمد معین صادقی^۴

۱. کارشناس ارشد علوم زیستی، دانشکده منابع طبیعی، دانشگاه تهران، کرج، ایران

۲. استاد گروه جنگلداری و اقتصاد جنگل، دانشکده منابع طبیعی، دانشگاه تهران، کرج، ایران

۳. دانشیار گروه علوم و صنایع چوب و کاغذ، واحد کرج، دانشگاه آزاد اسلامی، کرج، ایران

۴. پژوهشگر پسادکتری جنگل‌شناسی و اکولوژی جنگل، دانشکده جنگل‌شناسی و مهندسی جنگل، دانشگاه تربیت مدرس تبریز، تبریز، ایران

تاریخ دریافت: ۱۴۰۰/۰۲/۰۴، تاریخ پذیرش: ۱۴۰۰/۰۴/۱۴

چکیده

مشکلات اندازه‌گیری باران ریابی در توده‌های جنگلی، ضرورت استفاده از مدل‌های برآوردکننده باران ریابی را دوچندان می‌کند. پرکاربردترین مدل‌های برآوردکننده باران ریابی، مدل‌های فیزیکی مبنای Sparse Gash بیشترین کاربرد را دارد. هدف پژوهش حاضر، ارزیابی مدل Sparse Gash در برآورد باران ریابی پنج توده جنگلی (دو توده جنگلی از گونه بلندمازو، دو توده جنگلی از گونه راش شرقی و یک توده پلت) در ناحیه رویشی هیرکانی بود. بدین منظور، مقدار باران و تاج‌بارش در هر توده به ترتیب با بهره‌گیری از ۵ و ۲۰ جمع‌آوری کننده باران اندازه‌گیری و باران ریابی از کسر مقدار تاج‌بارش از مقدار باران محاسبه شد. برای ارزیابی مدل، از چهار آماره درصد خطأ (Error)، میانگین مطلق خطأ (MAE)، ریشه دوم میانگین مربع خطأ (RMSE) و ضریب کارایی (CE) استفاده شد. نتایج نشان داد که بر اساس ضریب همبستگی پیرسون، همبستگی بین مقادیر برآوردشده توسط مدل و مقادیر اندازه‌گیری باران ریابی در سطح اطمینان ۹۵ درصد معنی‌دار است. در همه توده‌های تحت بررسی، مقادیر آماره CE که بیانگر کارایی مدل Sparse Gash در برآورد باران ریابی است، بیشتر از ۰/۵ به دست آمد که بیانگر قابلیت مناسب مدل است. همچنین بر اساس آماره درصد خطأ، مدل قابلیت مناسبی در برآورد باران ریابی چهار توده راش شرقی منطقه لاجیم (۱۰/۳ - درصد)، بلندمازو منطقه کوه‌های (۱۲/۷ + درصد)، بلندمازو منطقه ساری (۱۰/۸ + درصد) و پلت منطقه ساری (۱۵/۴ - درصد) نشان داد. بررسی عملکرد مدل‌های مختلف فیزیکی مبنای در جنگل‌های با گونه‌های متفاوت و خصوصیات مختلف آبومتریک، اقلیمی و باران، می‌تواند به تکمیل اطلاعات درباره کارایی مدل‌های مختلف در برآورد باران ریابی کمک کند.

واژه‌های کلیدی: اکوهیدرولوژی جنگل، بلندمازو، پلت، راش شرقی، مدل فیزیکی مبنای.

مقدمه

از نخستین پژوهش درباره نحوه توزیع باران در هنگام برخورد با تاج‌پوشش درختان در اکوسیستم‌های مختلف و دسته‌بندی آن به اجزای مختلف، بیش از یک قرن می‌گذرد [۱] و توزیع اجزای باران و مدل‌سازی آن، بخش مهمی از

* نویسنده مسئول؛ تلفن: ۰۹۱۲۷۰۱۳۹۹۶

Email: attarod@ut.ac.ir

Gash (اصلاح شده گش) برای جنگلهای تنک ارائه دادند که در پیش‌بینی باران‌ربایی در جنگلهایی با تاج‌پوشش تنک [۱، ۷، ۸] و حتی متراکم [۱]، به نتایج بهتری نسبت به مدل پیشین نائل شد. در این مدل، تبخیر از سطح تاج‌پوشش، رابطه خطی با پوشش تاجی یعنی سطحی از زمین دارد که توسط تاج‌پوشش درختان پوشانده می‌شود (منظور مساحت سایه‌انداز تاج‌پوشش است) [۵].

در پژوهش حاضر مدل Sparse به دلیل سادگی و انعطاف‌پذیری زیاد انتخاب شد. این مدل به پارامترهای اندکی احتیاج دارد که به منظور برآورده این پارامترها می‌توان از مشاهدات بارندگی و تاج‌بارش استفاده کرد [۵]. داده‌های هواشناسی مورد استفاده آن محدودند (تنها مقدار باران) و داده‌های در دسترس تری مانند ظرفیت نگهداری آب تاج‌پوشش، تاج‌بارش مستقیم و نسبت تبخیر در زمان بارندگی به شدت باران (\bar{E}/\bar{R})، در آن به کار Sparse، تنها مشخصه مورد نیاز پوشش گیاهی، درصد Gash، تاج‌پوشش است [۱، ۵].

در خارج از کشور، تحقیقات مختلفی به منظور ارزیابی کارایی مدل‌های مختلف در پیش‌بینی مقدار باران‌ربایی انجام گرفته است. برای نمونه دکاروالیو لوپز و همکاران [۶] عملکرد مدل Sparse Gash در برآورده باران‌ربایی جنگلهای خشک گرم‌سیری بزریل را بررسی کردند و این مدل را برای برآورده باران‌ربایی این جنگلهای مناسب خواندند. لی و همکاران [۱۰] قابلیت مدل یادشده را در جنگلهای سوزنی‌برگ *Pinus tabuliformis* در شمال چین بررسی کردند و به این نتیجه رسیدند که در جنگلهای با تراکم درختی کم، این مدل قابلیت مناسبی در برآورده باران‌ربایی ندارد. در داخل کشور، تا کنون تحقیقات اندکی درباره کارایی مدل‌های مختلف Gash در برآورده باران‌ربایی در اکوسیستم‌های مختلف و گرم‌سیری گرفته است [۷، ۸، ۱۱، ۱۲، ۱۳]. در ناحیه رویشی

می‌شود و دوباره به اتمسفر بازمی‌گردد. باران‌ربایی، اتلاف آبی باران توسط تاج‌پوشش و تنہ پوشش گیاهی است و مقدار آن در پژوهش‌های مختلف داخل کشور تا ۴۴ درصد از باران سالانه ذکر شده است [۲] که نشان‌دهنده سهم زیاد آن در چرخه هیدرولوژی جنگل است.

آکاهی از مقدار باران‌ربایی توده‌های مختلف جنگلی، می‌تواند در انتخاب گونه مناسب به منظور جنگل کاری [۳] و اجرای عملیات پرورشی جنگل [۴] مؤثر باشد. با توجه به مشکلات اندازه‌گیری باران‌ربایی، مانند زمان بر و هزینه بر بودن اندازه‌گیری‌ها و نیازمندی به ابزار نیمه‌پیشرفته و پیشرفته، مدل‌هایی به منظور برآورده باران‌ربایی بدون اندازه‌گیری در توده با استفاده از چند متغیر هواشناسی و مشخصه‌های مربوط به پوشش گیاهی ارائه شدند [۱]. دانشمندی به نام روتر در سال ۱۹۷۱، نخستین بار مدلی برای برآورده مقدار باران‌ربایی تاج‌پوشش و تنہ درختان با استفاده از داده‌های هواشناسی و مشخصه‌های تاج‌پوشش معرفی کرد. متغیرهای هواشناسی استفاده شده در این مدل عبارت‌اند از مقدار بارش، سرعت باد، دمای هوا، تابش خالص خورشیدی و فشار بخار آب که مقدار تبخیر را کنترل می‌کنند [۱]. مشخصه‌های مربوط به پوشش گیاهی عبارت‌اند از ظرفیت نگهداری آب تاج‌پوشش (S)، ضریب ساقاب (p_s)، ظرفیت نگهداری آب روی تنۀ درخت (S_d) و ضریب تاج‌بارش مستقیم (p). مهم‌ترین مشکل کاربردی مدل روتر، تعداد زیاد داده‌های لازم است [۱]. گش در سال ۱۹۷۹، مدل ساده‌تری را بر پایه بارش‌های رخداده معرفی کرد. این مدل که مدل تحلیلی Gash نامیده می‌شود، موقوفیت زیادی در برآورده مقدار باران‌ربایی در جنگلهایی با تاج‌پوشش متراکم در اکوسیستم‌های معتدل و گرم‌سیری دارد. ضعف این مدل، کاربرد آن در جنگلهای تنک است که مقدار باران‌ربایی برآورده شده را بیش از مقدار واقعی برآورده می‌کند [۱، ۵، ۶]. برای رفع این نقص، در سال ۱۹۹۵ میلادی، گش و همکاران مدل دیگری به نام Sparse

(*Acer velutinum*) و یک توده پلت (*Fagus orientalis*) بررسی شد. تیپ توده‌های یادشده خالص است و توده‌های راش شرقی طبیعی و ناهمسال‌اند، در حالی که بقیه توده‌ها دست‌کاشت و همسال‌اند. هیچ‌گونه بهره‌برداری در پنج توده تحت بررسی در سال‌های گذشته انجام نگرفته است.

جمع‌آوری داده‌ها

در این پژوهش، از داده‌های تاج‌بارش و مقدار باران اندازه‌گیری شده در کوه‌میان، ساری، لاجیم و کلاردشت بهره گرفته شد (جدول ۲). برای اندازه‌گیری مقدار باران در هر رخداد، از پنج باران‌سنجدستی در نزدیکترین فضای باز به هر توده تحت مطالعه استفاده شد که به صورت کاملاً عمودی در کف جنگل مستقر شدند. مقدار تاج‌بارش نیز با استفاده از ۲۰ باران‌سنجدستی (مشابه باران‌سنجدستی به کارفته برای جمع‌آوری باران) اندازه‌گیری شد که در پنج تاج‌بوشش هر توده به صورت تصادفی نصب شدند. در نهایت باران‌ربایی از کسر مقدار تاج‌بارش از مقدار باران در هر رخداد محاسبه شد.

هیرکانی تنها یک پژوهش درباره مقایسه کارایی مدل‌های اصلاح‌شده Gash در برآورد باران‌ربایی توده راش شرقی در غرب این ناحیه صورت پذیرفته است [۱۳]. در این ناحیه رویشی با توجه به تنوع گونه‌ای زیاد، پیچیدگی ساختار جنگل و رژیم بارندگی متغیر، بررسی کارایی مدل Sparse Gash در برآورد باران‌ربایی توده‌های جنگلی مختلف ضروری است؛ بنابراین هدف این پژوهش، ارزیابی مدل Sparse Gash در برآورد باران‌ربایی پنج توده جنگلی در ناحیه رویشی هیرکانی بود.

مواد و روش‌ها

مناطق پژوهش

این پژوهش در چهار منطقه ناحیه رویشی هیرکانی واقع در استان‌های گلستان (کوه‌میان) و مازندران (ساری، لاجیم و کلاردشت) در پنج توده جنگلی انجام گرفت (جدول ۱). در این پژوهش، دو توده جنگلی از گونه بلندمازو (*Quercus castaneifolia*)، دو توده راش شرقی

جدول ۱. مختصات عمومی، پوشش گیاهی، هواشناسی و اقلیمی مناطق تحت بررسی در استان‌های گلستان و مازندران

| منطقه | | | | | مشخصه |
|-------------|----------|----------|------------|--|---------------------------|
| کلاردشت | لاجیم | ساری | کوه‌میان | | |
| ۳۶°۳۰' | ۳۵°۱۵' | ۳۶°۲۱' | ۳۷°۵۶' | عرض جغرافیایی (شمالی) | عمر |
| ۵۱°۹' | ۵۳°۱۰' | ۵۲°۱۴' | ۵۵°۱۴' | طول جغرافیایی (شرقی) | عمر |
| ۱۳۰ | ۱۰۰ | ۸۰ | ۱۵۰ | ارتفاع از سطح دریا (متر) | عمر |
| راش شرقی | راش شرقی | بلندمازو | بلندمازو | گونه | پوشش گیاهی |
| ۹۳ | ۴۹/۵ | ۲۰ | ۶۵ | متوسط قطر توده (سانتی‌متر) | پوشش گیاهی |
| ۹/۵ | ۳۱/۵ | ۱۹ | ۲۱ | متوسط ارتفاع توده (متر) | پوشش گیاهی |
| ۸۳ | ۹۰ | ۸۰ | ۵۵ | متوسط تاج‌بوشش (درصد) | پوشش گیاهی |
| ۴۶۹ | ۸۸۰ | ۷۷۸ | ۷۰۰ | متوسط مقدار باران (میلی‌متر در سال) | خصوصیات هواشناسی و اقلیمی |
| ۱۳/۲ | ۱۶/۵ | ۱۶/۰ | ۱۶/۸ | متوسط دمای هوای (درجه سانتی‌گراد) | خصوصیات هواشناسی و اقلیمی |
| مدیترانه‌ای | مرطوب | مرطوب | نیمه‌مرطوب | نوع اقلیم (بر اساس نمایه اقلیمی دومارتن) | خصوصیات هواشناسی و اقلیمی |

جدول ۲. مشخصات باران و تاج‌بارش در توده‌های تحت بررسی در استان‌های گلستان و مازندران

| منطقه | | | | | مشخصه |
|----------|-------|------|----------|------|--|
| کلاردشت | لاجیم | ساری | بلندمازو | پلت | |
| کوه‌میان | | | | | |
| ۸ | ۵ | ۷ | ۱۲ | | طول دوره پژوهش (ماه) |
| ۲۱ | ۲۸ | ۲۰ | ۲۴ | | تعداد رخداد باران اندازه‌گیری شده |
| ۵/۲ | ۲/۱ | ۱/۱ | ۰/۵ | | کمترین مقدار باران اندازه‌گیری شده (میلی‌متر) |
| ۶۰/۲ | ۳۹/۴ | ۲۵/۰ | ۵۴/۷ | | بیشترین مقدار باران اندازه‌گیری شده (میلی‌متر) |
| ۱۸/۱ | ۱۱/۵ | ۱۷/۳ | ۱۹/۵ | | متوسط مقدار باران (میلی‌متر) |
| ۷/۷ | ۸/۴ | ۱۱/۹ | ۱۲/۰ | | متوسط مقدار تاج‌بارش (میلی‌متر) |
| ۳۹/۴ | ۴۰/۶ | ۵۵/۸ | ۳۳/۶ | ۴۱/۶ | متوسط باران‌ربایی نسبی (درصد) |

در رابطه‌های ۳ و ۴، n تعداد باران کافی برای اشباع تاج‌پوشش و S_c نسبت ظرفیت نگهداری آب تاج‌پوشش به پوشش تاجی است.

ارزیابی مدل و تجزیه و تحلیل آماری

در این پژوهش، ۷۰ درصد داده‌ها در هر توده برای راهاندازی مدل و ۳۰ درصد داده‌ها برای ارزیابی مدل استفاده شدند [۹]. برای ارزیابی مدل، از چهار آماره درصد خطای $(Error)$ ، میانگین مطلق خطای (MAE) ، ریشه دوم میانگین مربع خطای $(RMSE)$ و ضریب کارایی (CE) بهره گرفته شد (رابطه‌های ۶ تا ۹) [۱۵، ۱۶].

$$Error(\%) = \left(\frac{\bar{O} - \bar{P}}{\bar{O}} \right) \times 100 \quad (6)$$

$$RMSE = \left[N^{-1} \sum_{i=1}^N (P_i - O_i)^2 \right]^{0.5} \quad (7)$$

$$MAE = N^{-1} \sum_{i=1}^N |P_i - O_i| \quad (8)$$

$$CE = 1 - \frac{\sum_{i=1}^N (O_i - P_i)^2}{\sum_{i=1}^N (O_i - \bar{O})^2} \quad (9)$$

در این رابطه‌ها، \bar{O} میانگین داده‌های مشاهداتی، P_i میانگین داده‌های برآورده، O_i تعداد داده مشاهده شده، N تعداد داده مشاهده شده، c مقدار پیش‌بینی شده توسط مدل (مقدار برآورده شده) و $RMSE$ مقدار مشاهده شده (مقدار اندازه‌گیری شده) است. MAE و CE آماره‌هایی هستند که برای ارزیابی خطای مدل استفاده می‌شوند که دامنه آنها بین صفر تا مثبت بی‌نهایت است و هرچه به صفر نزدیک‌تر باشند، خطای مدل کمتر است. $Error$ آماره‌ای است که برای ارزیابی درصد خطای مدل استفاده می‌شود و مقدار آن از مثبت بی‌نهایت تا منفی بی‌نهایت است و علائم مثبت و منفی به ترتیب نشان‌دهنده بیش‌برآورده و کم‌برآورده مدل هستند که هرچه مقدار آنها به صفر نزدیک‌تر باشد، خطای مدل کمتر است. CE که

Sparse Gash مدل

برای راهاندازی مدل Sparse Gash، محاسبه مقادیر پارامترهای اکوهیدرولوژیک تاج‌پوشش شامل نقطه اشباع آب تاج‌پوشش برآورده ($P'_{g-Estimated}$)، نقطه اشباع آب تاج‌پوشش محاسباتی (P'_g)، ضریب تاج‌بارش مستقیم (p)، نسبت تبخیر در زمان بارندگی به شدت باران (\bar{E}/\bar{R}) و همچنین مقدار باران (P_G) در هر رخداد نیاز است. نحوه محاسبه این پارامترها در پژوهش‌های پیشین بیان شده است [۱۴]. پس از محاسبه پارامترهای اکوهیدرولوژیک در هر توده، باران‌ربایی با استفاده از مدل Sparse Gash از مجموع باران‌ربایی تعداد m باران ناکافی برای اشباع تاج‌پوشش (I_c) و تعداد n باران کافی برای تاج‌پوشش (I_n) برآورد می‌شود. پس از تعیین دو گروه بارندگی، برای محاسبه باران‌ربایی تعداد m باران ناکافی برای اشباع تاج‌پوشش (I_c)، رابطه ۱ به کار گرفته شد:

$$I_c = c \sum_{j=1}^m P_{G,j} \quad (1)$$

در این رابطه، c پوشش تاجی است که از رابطه $1-p$ محاسبه شد و $P_{G,j}$ مقدار بارندگی در بارش زبه میلی‌متر است. به‌منظور محاسبه باران‌ربایی در تعداد n باران کافی برای اشباع تاج‌پوشش (I_n)، از رابطه زیر استفاده شد:

$$I_n = I_w + I_a + I_s \quad (2)$$

در این رابطه I_w بارانی که صرف مرطوب کردن تاج‌پوشش شده، I_a تبخیر قبل از اشباع تاج‌پوشش، اما قبل از قطع باران و I_s تبخیر بعد از قطع باران است (رابطه‌های ۳ تا ۵).

$$I_w = ncP_s - ncS_c \quad (3)$$

$$I_a = ncS_c \quad (4)$$

$$I_s = (\bar{E} / \bar{R}) \sum_{j=1}^n (P_{G,j} - P_s) \quad (5)$$

اندازه‌گیری شده باران ریایی در مرحله ارزیابی مدل، از آزمون t -جفتی در سطح اطمینان ۹۵ درصد استفاده شد.

نتایج و بحث

راهاندازی مدل

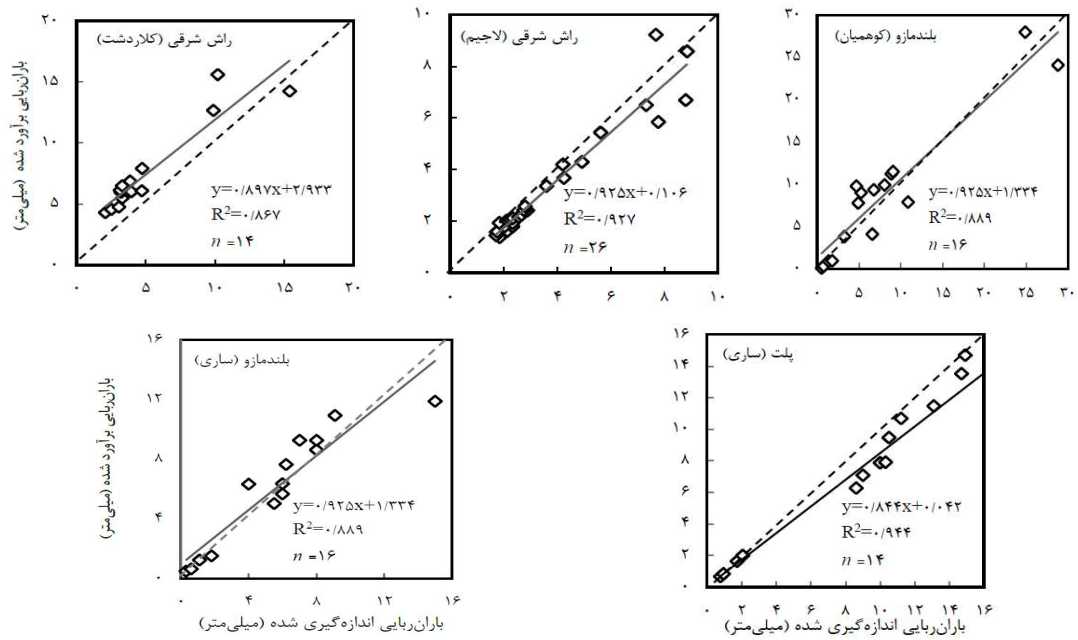
مقادیر کمی اجزای مدل در هر توده تحت مطالعه به تفکیک در جدول ۳ آورده شده است که این اجزا در توده‌های مختلف اختلاف چشمگیری با هم دارند.

ضریب نش و ساتکلیف نیز نام دارد، آماره‌ای است که برای ارزیابی عملکرد مدل استفاده می‌شود و دامنه آن بین منفی به نهایت تا مثبت ۱ است و هرچه به مثبت ۱ نزدیک‌تر باشد، مدل دارای کارایی بهتری است و مقادیر بیشتر از $+0/5$ ، نشان‌دهنده عملکرد مناسب مدل است [۱۶، ۱۵].

در مرحله راهاندازی مدل، از ضریب همبستگی پیرسون برای بررسی رابطه بین مقادیر برآورده شده توسط مدل و مقادیر اندازه‌گیری باران ریایی استفاده شد. برای مقایسه بین مقادیر برآورده شده توسط مدل و مقادیر

جدول ۳. مقادیر اجزای مدل Sparse Gash به تفکیک توده‌های تحت بررسی در استان‌های گلستان و مازندران

| کلاردشت | لاجیم | ساری | | کوهمنیان | مشخصه |
|---------|-------|----------|------|----------|---|
| | | بلندمازو | پلت | | |
| ۱۰ | ۲۰ | ۱۱ | ۱۱ | ۱۳ | تعداد باران کافی برای اشباع آب تاجپوشش (n) |
| ۴ | ۶ | ۳ | ۳ | ۳ | تعداد باران ناکافی برای اشباع آب تاجپوشش (m) |
| ۰/۱۷ | ۰/۵۶ | ۰/۴۰ | ۰/۵۴ | ۰/۸۰ | ضریب تاجبارش مستقیم (P) |
| ۱/۹۴ | ۱/۴۰ | ۲/۲۱ | ۰/۰۹ | ۲/۷۸ | ظرفیت نگهداری آب تاجپوشش (ک، میلی‌متر) |
| ۷/۲۱ | ۴/۴۱ | ۳/۳۰ | ۳/۳۰ | ۴/۹۳ | نقطه اشباع آب تاجپوشش (P_g ، میلی‌متر) |
| ۰/۳۹ | ۰/۲۱ | ۰/۴۰ | ۰/۳۲ | ۰/۵۵ | نسبت تغییر در زمان بارندگی به شدت باران (\bar{E}/\bar{R}) |



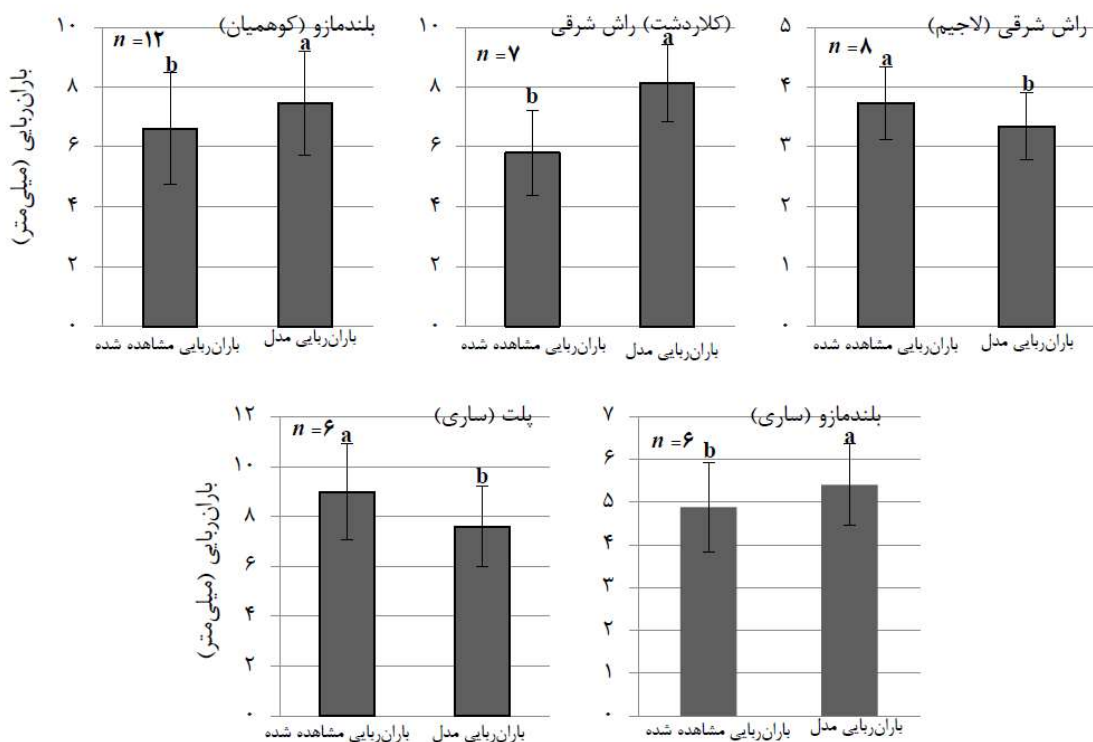
شکل ۱. مقادیر باران ریایی اندازه‌گیری شده و برآورده شده توسط مدل Sparse Gash. در هر نمودار، y بیانگر تعداد رخداد باران و خطچین بیانگر خط $1:1$ است.

در توده کاج تهران در پارک جنگلی چیتگر تهران مشاهده کردند، در تطابق است.

ارزیابی مدل

در شکل ۲، مقایسه میانگین مقادیر بارانربایی برآورده شده توسط مدل و بارانربایی مشاهده شده در مرحله ارزیابی مدل نشان داده شده است. نتایج آزمون t -جفتی، بیانگر معنی دار بودن اختلاف بین میانگین‌ها در همه توده‌های تحت بررسی است ($P < 0.05$). شکل ۲.

در شکل ۱، مقادیر برآورده مدل Sparse Gash در مناطق تحت پژوهش برای ۷۰ درصد از رخدادهای هر توode نشان داده شده است. بر اساس ضریب همبستگی پیرسون، همبستگی بین مقادیر برآورده شده توسط مدل و مقادیر اندازه‌گیری بارانربایی در سطح آماری ۹۵ درصد معنی دار است. این نتایج با یافته‌های مطهری و همکاران [۱۱] که همبستگی معنی داری بین مقادیر برآورده شده توسط مدل Sparse Gash و مقادیر اندازه‌گیری بارانربایی



شکل ۲. میانگین مقدار بارانربایی مشاهده شده و میانگین بارانربایی برآورده شده با مدل در مرحله ارزیابی مدل. میله‌ها بر خطای معیار میانگین دلالت دارند. حروف متفاوت نشان دهنده معنی داری اختلاف بین میانگین مقادیر برآورده و مشاهده شده بارانربایی در هر توده است ($P < 0.05$). n بیانگر تعداد رخداد باران در هر توده است.

بیش برآورد می‌کند (شکل ۲ و جدول ۴). در تمامی توده‌ها، مقادیر آماره CE که بیانگر کارایی مدل Sparse Gash در برآورد بارانربایی است، بیشتر از ۰/۵ حاصل شد (جدول ۴).

بر اساس جدول ۴، آماره‌های ارزیابی در مرحله ارزیابی مدل در پنج توده تحت بررسی محاسبه شده است. در توده راش شرقی منطقه کلاردشت و دو توده بلندمازو، مدل Sparse Gash مقادیر بارانربایی را

جدول ۴. مقادیر آماره‌های ارزیابی مدل Sparse Gash برای برآورد مقدار باران ریابی در پنج توده تحت بررسی

| ساری | | کوهیان | کلاردشت | لاجیم | آماره‌های ارزیابی مدل |
|--------|----------|----------|----------|----------|-----------------------|
| پلت | بلندمازو | بلندمازو | راش شرقی | راش شرقی | |
| -۱۵/۴۰ | +۱۰/۷۷ | +۱۲/۶۵ | +۴۰/۲۹ | -۱۰/۲۹ | (درصد) Error |
| ۱/۵۴ | .۰/۵۷ | .۰/۹۲ | ۲/۳۶ | .۰/۴۲ | (میلی‌متر) RMSE |
| ۱/۳۸ | .۰/۵۳ | .۰/۸۴ | ۲/۳۴ | .۰/۳۸ | (میلی‌متر) MAE |
| .۰/۸۷ | .۰/۹۴ | .۰/۹۷ | .۰/۵۴ | .۰/۹۴ | CE |

۶/۵ + درصد بیشتر از مقدار واقعی باران ریابی بوده است [۷]. لانکرایر و همکاران به ارزیابی مدل Sparse Gash جنگل‌های آمیخته پهن‌برگ پرداختند و نتیجه گرفتند که این مدل برآورده بیشتر از مقدار واقعی دارد (۲۰/۳). درصد. یکی از راهکارهای احتمالی برای کاهش خطای برآورده مدل Sparse Gash، کاربرد آن در سنجه‌های زمانی کوتاه‌تر (منظور دوره‌های برگدار و بی‌برگی) است [۱۹]. در همین زمینه پاپیکر و همکاران با بررسی پارامترهای اکو‌هیدرولوژیک تاج‌پوشش در جنگل سوزنی *Pseudotsuga menziesii* در آمریکا به این نتیجه رسیدند که حتی برای سوزنی برگان که تغییرات فصلی تاج‌پوشش به صورت چشمی زیاد نیست، باید در هنگام استفاده از مدل‌های فیزیکی مبنا برآورده مقدار باران ریابی، اجزای تشکیل‌دهنده مدل را برابر هر فصل، جداگانه در نظر گرفت [۲۰]. در پژوهشی دیگر، صادقی و همکاران با بررسی پارامترهای اکو‌هیدرولوژیک تاج‌پوشش و تنها درختان پهن‌برگ خزان‌کننده افاییا و چنار در دوره‌ای سه‌ساله در پارک جنگلی چیتگر، به این نتیجه رسیدند که مقادیر پارامترهای اکو‌هیدرولوژیک در دوره‌های گذر (انتقالی) برگ بسیار متفاوت است [۲۱] و این پارامترها، به عنوان ورودی اصلی مدل‌های فیزیکی مبنا در برآورده مقدار باران ریابی شناخته می‌شوند [۱]. از این‌رو پیشنهاد می‌شود در پژوهش‌های بعدی در توده‌های پهن‌برگ خزان‌کننده، به بررسی کارایی مدل Sparse Gash در برآورده باران ریابی در سنجه‌های زمانی کوتاه‌تر (مانند دوره‌های برگ‌داری و بی‌برگی) پرداخته شود. دکاروالیو

Sparse Gash در برآورده باران ریابی توده‌های پهن‌برگ جنگل‌های هیرکانی ۱۵/۴ - درصد (کم‌برآورده در توده پلت ساری) تا ۳/۴۰ + درصد (بیش‌برآورده در توده راش شرقی منطقه کلاردشت) در نوسان است. البته با توجه به آماره CE که مقادیر بیشتر از ۵/۰، بیانگر قابلیت برآورده مناسب مدل‌های هیدرولوژیکی است [۱۷]، عملکرد مدل Sparse Gash در برآورده باران ریابی توده‌های پهن‌برگ در این پژوهش مطلوب توصیف می‌شود. هرچند با توجه به مقادیر آماره Error (جدول ۲)، مدل Sparse Gash در توده راش شرقی کلاردشت به دلیل خطای برآورده زیاد، قابلیت مناسبی در برآورده باران ریابی ندارد. گش و همکاران در پژوهشی ارزیابی مدل Sparse Gash در جنگل‌های *Pinus pinaster* در فرانسه ارزیابی کرده و کارایی آن را در جنگل‌های تک تأیید کردند، زیرا مقدار برآورده باران ریابی توسط مدل Sparse Gash ۴ درصد کمتر از مقدار مشاهده شده حاصل شد [۵]. دایکس به ارزیابی مدل Sparse Gash در برآورده باران ریابی گونه‌های مختلف همیشه‌سبز در جنگل‌های گرم‌سیری پرداخت و اذعان داشت که برآورده باران ریابی با این مدل بسیار عالی است (خطای برآورده برابر با ۱ درصد و مقدار برآورده بیشتر از مقدار مشاهده شده) [۱۸]. صادقی و همکاران با بررسی عملکرد مدل Sparse Gash در برآورده باران ریابی سالانه توده‌های کاج تهران و سرو نقره‌ای در پارک چیتگر تهران به این نتیجه رسیدند که مقدار برآورده مدل Sparse Gash برای کاج تهران ۹/۰ + درصد و برای سرو نقره‌ای

باران‌ربایی در رخدادهای باران با مقدار زیاد- به صورت مستقیم اندازه‌گیری شود [۶، ۲۵]. گیمیر و همکاران کارایی مدل اصلاح شده Sparse Gash در برآورد باران‌ربایی جنگل‌های ثانویه در مناطق گرمسیری را بررسی کردند و نتیجه گرفتند که این مدل قابلیت مناسبی در برآورد باران‌ربایی (خطای کمتر از $5 + \text{درصد}$) دارد و برای بهبود آن باید پارامتر \bar{E}/\bar{R} به صورت مستقیم در عرصه اندازه‌گیری شود [۲۵]. شایان ذکر است که اندازه‌گیری مستقیم این پارامتر، نیازمند ابزار پیشرفته و گران‌قیمت است.

بر اساس جدول ۲، توده پهن‌برگ راش شرقی کلاردشت دارای بیشترین قطر برابر سینه و کوتاه‌ترین ارتفاع متوسط درختان نسبت به چهار توده دیگر این پژوهش است. از آنجا که در توده‌های تحت بررسی، مقدار ساقاب اندازه‌گیری نشده و این ورودی آب به جنگل ممکن است تا ۴۵ درصد مقدار باران سالانه باشد [۲]، بنابراین این فرضیه (یعنی ناچیز در نظر گرفتن مقدار ساقاب)، سبب می‌شود که مقدار باران‌ربایی در هر رخداد باران به درستی برآورد نشود؛ بنابراین پیشنهاد می‌شود در پژوهش‌های بعدی، به بررسی کارایی مدل Sparse Gash با ورود مقدار ساقاب به مدل پرداخته شود تا بتوان با قطعیت بیشتری درباره کارایی مدل صحبت کرد.

باید توجه کرد که در برآورد باران‌ربایی، مدل‌های فیزیکی مبنا، دقیق‌اند و می‌توان از آنها در مناطق اقلیمی، جغرافیایی و نیز برای گونه‌های مختلف گیاهی استفاده کرد؛ بنابراین می‌توان گفت این قبیل مدل‌ها، مختص منطقه خاصی نیستند و در توده‌ها و اقلیم‌های مختلف کاربرد دارند [۱]؛ البته قابلیت آنها در برآورد باران‌ربایی در مناطق و توده‌های مختلف متفاوت است و از این‌رو ارزیابی آنها در هر اقلیم و برای گونه درختی ضرورت دارد.

لوپز و همکاران عملکرد مدل Sparse Gash در برآورد باران‌ربایی جنگل‌های پهن‌برگ خشک گرمسیری بروزیل را ارزیابی کردند و این مدل را برای برآورد باران‌ربایی این جنگل‌ها مناسب دانستند (مقدار ضریب $CE: 0.94$ تا 0.97 در توده‌های مختلف) [۹]. تیو و همکاران به ارزیابی مدل Sparse Gash در پیش‌بینی مقدار باران‌ربایی توده دست‌کاشت سوزنی‌برگ لاریکس در چین پرداختند و خطای برآورده مدل را تنها ۵ درصد بیان کردند که حاکی از کارایی مناسب این مدل است [۲۲].

در این پژوهش، درصد خطای برآورده دو توده راش بسیار متفاوت حاصل شد، به طوری که مقدار آماره $Error$ در لاجیم $-10/3$ - درصد و در کلاردشت $40/3$ + درصد به دست آمد. یکی از محتمل‌ترین دلایل این تفاوت، ارتفاع زیاد کلاردشت از سطح دریا نسبت به لاجیم است (1320 متر در مقابل 1000 متر) که سبب فروزنی مقدار ورود مه‌بارش به اکوسیستم کلاردشت نسبت به لاجیم و افزایش خطای مدل شده است؛ بنابراین پیشنهاد می‌شود که در پژوهش‌های بعدی، مقدار مه‌بارش به عنوان یکی از ورودی‌های آب به اکوسیستم در کنار مقدار باران بررسی شود.

یکی از یافته‌های این پژوهش این است که مقدار برآورده مدل Sparse Gash در همه توده‌های تحت بررسی، در مقادیر باران با مقدار رخداد کوچک، دارای دقت مناسبی است، حال آنکه با افزایش مقدار باران، خطای برآورده مدل بیشتر می‌شود. در برخی تحقیقات به این موضوع پرداخته شده است که مدل Sparse Gash در رخدادهای باران‌های با مقدار کم، برآورده دقیق دارد، حال آنکه در رخدادهای باران برابر و بزرگ‌تر از نقطه اشباع آبی تاج‌پوشش، اغلب این مدل، باران‌ربایی را بیشتر از مقدار واقعی برآورده می‌کند [۷، ۱۸، ۲۳، ۲۴]. برای اصلاح برآورده مدل در باران‌هایی با مقدار رخداد زیاد، باید پارامتر نسبت تبخیر در زمان بارندگی به شدت باران (ۮ/۴) به عنوان اصلی‌ترین پارامتر تأثیرگذار بر مقدار

بلندمازو و پلت منطقه ساری نشان داد. بررسی عملکرد مدل‌های مختلف فیزیکی مینا در جنگل‌های با خصوصیات متفاوت آلمتریک، اقلیمی و باران، به تکمیل شکاف اطلاعاتی درباره کارایی مدل‌های مختلف در برآورد باران‌ربایی کمک می‌کند. تعیین دقیق مقدار باران‌ربایی، به عنوان اتلاف آبی تاج‌پوشش، به فرایند برنامه‌ریزی و تصمیم‌گیری مدیران جنگل کمک زیادی می‌کند و در نتیجه سبب مدیریت صحیح‌تر منابع آبی می‌شود.

نتیجه‌گیری

هدف اصلی مدل‌سازی اکوهیدرولوژی جنگل، درک بهتر چگونگی توزیع اجزای مختلف چرخه هیدرولوژی در بوم‌سازگان‌های جنگلی است. یکی از جنبه‌های اصلی بررسی اکوهیدرولوژی جنگل، بررسی مقدار باران‌ربایی توده‌های مختلف جنگلی است. بر اساس یافته‌های این پژوهش، مدل Sparse Gash قابلیت مناسبی در برآورد باران‌ربایی در جنگل‌های پهنه‌برگ خزان‌کننده چهار توده راش شرقی منطقه لاجیم، بلندمازو منطقه کوهیان،

References

- [1]. Muzylo, A., Llorens, P., Valente, F., Keizer, J.J., Domingo, F., and Gash, J.H.C. (2009). A review of rainfall interception modelling. *Journal of Hydrology*, 370(1-4): 191-206.
- [2]. Sadeghi, S.M.M., Gordon, D.A., and Van Stan II, J.T. (2020). A Global Synthesis of Throughfall and Stemflow Hydrometeorology. In *Precipitation Partitioning by Vegetation* (pp. 49-70). Springer, Cham.
- [3]. Sadeghi, S.M.M., Attarod, P., Van Stan, J.T., and Pypker, T.G. (2016). The importance of considering rainfall partitioning in afforestation initiatives in semiarid climates: A comparison of common planted tree species in Tehran, Iran. *Science of the Total Environment*, 568: 845-855.
- [4]. Sun, X., Onda, Y., Kato, H., Gomi, T., and Komatsu, H. (2015). Effect of strip thinning on rainfall interception in a Japanese cypress plantation. *Journal of Hydrology*, 525: 607-618.
- [5]. Gash, J., Lloyd, C., and Lachaud, G. (1995). Estimating sparse forest rainfall interception with an analytical model. *Journal of Hydrology*, 170: 79-86.
- [6]. Lloyd, C.R., Gash, J.H., and Shuttleworth, W.J. (1988). The measurement and modelling of rainfall interception by Amazonian rain forest. *Agricultural and Forest Meteorology*, 43(3-4): 277-294.
- [7]. Sadeghi, S.M.M., Attarod, P., Van Stan II, J.T., Pypker, T.G., and Dunkerley, D. (2015). Efficiency of the reformulated Gash's interception model in semiarid afforestations. *Agricultural and Forest Meteorology*, 201: 76-85.
- [8]. Fathizadeh, O., Hosseini, S.M., Keim, R.F., and Boloorani, A.D. (2018). A seasonal evaluation of the reformulated Gash interception model for semi-arid deciduous oak forest stands. *Forest Ecology and Management*, 409: 601-613.
- [9]. de Carvalho Lopes, D., Neto, A.J.S., de Queiroz, M.G., de Souza, L.S.B., Zolnier, S., and da Silva, T.G.F. (2020). Sparse Gash model applied to seasonal dry tropical forest. *Journal of Hydrology*, 590: 125497.
- [10]. Li, Y., Liu, X., Zhang, C., Li, Z., Zhao, Y., and Niu, Y. (2020). Effect of initial plant density on modeling accuracy of the revised sparse Gash model: a case study of *Pinus tabuliformis* plantations in northern China. *Hydrology Research*, 51(5): 1170-1183.
- [11] Motahari, M., Attarod, P., Pypker, T.G., Etemad, V., and Shirvany, A. (2013). Rainfall interception in a *Pinus eldarica* in a semi-arid climate: An application of the Gash model. *Journal of Agricultural Science and Technology*, 15(5): 981-994.
- [12]. Sadeghi, S.M.M., Van Stan II, J.T., Pypker, T.G., and Friesen, J. (2017). Canopy hydrometeorological dynamics across a chronosequence of a globally invasive species, *Ailanthus altissima* (Mill., tree of heaven). *Agricultural and Forest Meteorology*, 240: 10-17.
- [13]. Sefidi, K., and Sadeghi, S.M.M. (2020). Comparison of revised Gash models for estimating rainfall interception in an oriental beech stand, west of Hyrcanian region. *Iranian Journal of Forests* (in-press).

- [14]. Attarod, P., and Sadeghi, S.M.M. (2018). Forest Ecohydrology, Tehran: Jahad Daneshgahi.
- [15]. Dawson, C.W., Abrahart, R.J., and See, L.M. (2007). HydroTest: a web-based toolbox of evaluation metrics for the standardised assessment of hydrological forecasts. *Environmental Modelling and Software*, 22: 1034-1052.
- [16]. Nazari, M., Chaichi, M.R., Kamel, H., Grismer, M., and Sadeghi, S.M.M. (2020). Evaluation of estimation methods for monthly reference evapotranspiration in arid climates. *Arid Ecosystems*, 10(4): 329-326.
- [17]. Hennemuth, B., Bender, S., Bülow, K., Dreier, N., Keup-Thiel, E., Krüger, O., Mudersbach, C., Radermacher, C., and Schoetter, R. (2013). Statistical methods for the analysis of simulated and observed climate data, applied in projects and institutions dealing with climate change impact and adaptation, CSC Report 13, Climate Service Center, Hamburg, Germany, 135 p.
- [18]. Dykes, A.P., (1997). Rainfall interception from a lowland tropical rainforest in Brunei. *Journal of Hydrology*, 200: 260-279.
- [19]. Lankreijer, H., Lundberg, A., Grelle, A., Lindroth, A. and Seibert, J., (1999). Evaporation and storage of intercepted rain analysed by comparing two models applied to a boreal forest. *Agricultural and Forest Meteorology*, 98-99: 595-604.
- [20]. Pypker, T.G., Bond, B.J., Link, T.E., Marks, D., and Unsworth, M.H. (2005). The importance of canopy structure in controlling the interception loss of rainfall: Examples from a young and an old-growth Douglas-fir forest. *Agricultural and Forest Meteorology*, 130: 113-129.
- [21]. Sadeghi, S.M.M., Van Stan, J.T., Pypker, T.G., Tamjidi, J., Friesen, J., and Farahnaklangroudi, M. (2018). Importance of transitional leaf states in canopy rainfall partitioning dynamics. *European Journal of Forest Research*, 137: 121-130.
- [22]. Tu, L., Xiong, W., Wang, Y., Yu, P., Liu, Z., Han, X., & Xu, L. (2021). Integrated effects of rainfall regime and canopy structure on interception loss: A comparative modelling analysis for an artificial larch forest. *Ecohydrology*, e2283.
- [23]. Liu, Z., Wang, Y., Tian, A., Liu, Y., Webb, A.A., Wang, Y., Zho, H., Yu, P., Xiong, W., and Xu, L. (2018). Characteristics of canopy interception and its simulation with a revised Gash model for a larch plantation in the Liupan Mountains, China. *Journal of Forestry Research*, 29(1): 187-198.
- [24]. Nazari, M., Sadeghi, S.M.M., Van Stan II, J.T., and Chaichi, M.R. (2020). Rainfall interception and redistribution by maize farmland in central Iran. *Journal of Hydrology: Regional Studies*, 27, 100656.
- [25]. Ghimire, C.P., Bruijnzeel, L.A., Lubczynski, M.W., Ravelona, M., Zwartendijk, B.W., and van Meerveld, H.I. (2017). Measurement and modeling of rainfall interception by two differently aged secondary forests in upland eastern Madagascar. *Journal of Hydrology*, 545: 212-225.

Performance of the physically-based Sparse Gash model for estimating rainfall interception of the Hyrcanian broad-leaved forests

T. Panahande; MSc Graduated of Forest Biology, Faculty of Natural Resources, University of Tehran, I. R. Iran

P. Attarod*; Prof., Dept. of Forestry and Forest Economics, Faculty of Natural Resources, University of Tehran, I. R. Iran

M. Namiranian; Prof., Dept. of Forestry and Forest Economics, Faculty of Natural Resources, University of Tehran, I. R. Iran

V. Bayramzadeh; Associate Prof., Department of Wood and Paper Sciences, Karaj Branch, Islamic Azad University, Karaj, I. R. Iran

S.M.M. Sadeghi; Postdoctoral Researcher, Faculty of Silviculture and Forest Engineering, Transilvania University of Brasov, Brasov, Romania

(Received: 24 April 2021, Accepted: 05 July 2021)

ABSTRACT

The difficulties in the measurement of rainfall interception in forests confirm the necessity of presenting models. The widely used models for estimating rainfall interception are physical-based models, among which the Sparse Gash is the most commonly used. We evaluated the Sparse Gash model for estimating the rainfall interception of five forest stands (two chestnut-leaved oak stands, two oriental beech stands, and one velvet maple stand) in the Hyrcanian region. In each stand, the gross rainfall and throughfall were measured using 5 and 20 rainfall collectors, respectively, and rainfall interception was calculated by subtracting the throughfall from gross rainfall. To evaluate the performance of the model, we used statistical metrics: Error percentage (*Error*), Mean Absolute Error (*MAE*), Root Mean Square Error (*RMSE*), and the Model Efficiency coefficient (*CE*). Based on the Pearson correlation coefficient, the correlation between the values estimated by the model and the observed values was statistically significant at a 95% confidence interval. In all forests, the values of the *CE* were higher than 0.5, indicating the appropriate efficiency of the model. Based on the *Error*, the model showed good capability in estimating the rainfall interception of four forest stands (*i.e.*, oriental beech in Lajim, chestnut-leaved oak in Kohmiyan and Sari, and velvet maple in Sari *Error* metric were found to be -10.3%, +12.7%, +10.8%, and +15.4%, respectively). Studying the performance of physically-based models in forests with different species and different allometric, climatic, and rainfall characteristics completes the information gap about the efficiency of models to estimate rainfall interception.

Keywords: Chestnut-leaved oak, Forest ecohydrology, Oriental beech, Physically-based model, Velvet maple.

* Corresponding author: Email: attarod@ut.ac.ir, Tel: +98 9127013996